ancoPLUS®-

Durchstanzbewehrung



Durchstanztheorie nach Norm

SIA 262 Art. 4.3.6

SIA 262

ancotech

Anwendungshilfe zur Bemessungssoftware

Gratis Download unter: www.ancotech.ch



ANCOTECH AG, Produktion und Administration in Dielsdorf/Schweiz

ANCOTECH SA, production et administration à Dielsdorf/Suisse

Es ist unsere Philosophie, mit einer schlanken Firmenstruktur und gut ausgebildeten Mitarbeitern, technisch ausgereifte und wirtschaftlich interessante Lösungen im Bereich 'Spezialbewehrungen' und 'Edelstahlteile' zu erarbeiten. Wo erforderlich, werden eigene Systeme entwickelt. Unsere Innovationen im Ingenieurbau sind richtungsweisend.

Über 30 Jahre Erfahrung ist eine gute Grundlage für Qualität und Kontinuität.

ANCOTECH AG ein starker Name, eine starke Firma.

Il est dans notre philosophie de travailler avec une structure d'entreprise réduite et un personnel compétent. Nous nous efforçons de trouver des solutions économiques et techniquement parfaites pour résoudre les problèmes dans le domaine des armatures spéciales et des éléments en acier inoxydable. En cas de nécessité, nous développons de nouveaux

> Plus de 30 ans d'expérience est la garantie d'une qualité et d'une continuité.

systèmes.

ANCOTECH SA Un nom solide, une entreprise solide.

ancotech

Einführung / Durchstanztheorie

Die neue Betonnorm SIA 262 2013

- Auf den 1. Januar 2013 wurde die Norm SIA 262 2003 durch die neue SIA 262 2013 ersetzt.
- Sie ist Europakompatibel (entspricht der Terminologie des EC 02)

Die neue Terminologie

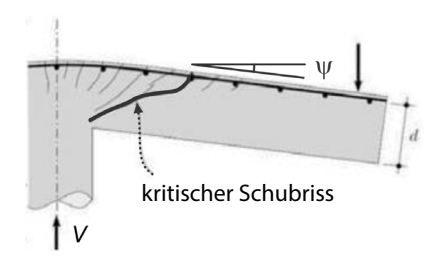
	SIA 262 2013
Betonfestigkeitsklassen	Beton C25/30
Bemmessungswert der Betondruckfestigkeit	f_cd
Bemmessungswert der Schubspannungsgrenze	$ au_{cd}$
mittlere, wirksame statische Höhe	d , d_v
Bemmessungswert der Fliessgrenze von Betonstahl	f_{sd}
Bemmessungswert des Durchstanzwiderstandes	$V_{Rd,c}$
Bemmessungswert max. des Durchstanzwiderstandes	$V_{Rd,max}$

Neuerungen im Durchstanzen (SIA 262 4.3.6)

• Die neue Norm erlaubt, durch die Einführung zusätzlicher Variablen, die Bemessung noch näher der Realität anzupassen (Näherungsstufen 1, 2 und 3).

Die Grundlage der neuen Durchstanztheorie basiert auf dem von Prof. Dr. Aurelio Muttoni und seinem Team an der EPFL entwickelten kritischen Schubrissmodell.

Modellvorstellung für Platten ohne Schubbewehrung (Basis der Bemessung nach SIA 262 und fib Model Code 2010): Versagen, wenn massgebender diagonaler Riss («kritischer Schubriss») sich so weit geöffnet hat, dass Schub nicht mehr übertragen werden kann.

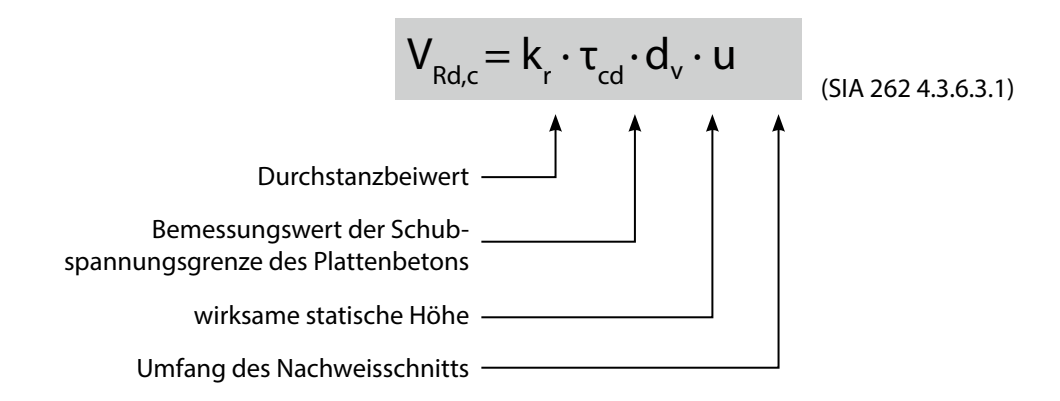


Krümmungen infolge Biegung vernachlässigt \rightarrow Rissöffnung ? Plattenrotation $\Psi \cdot$ stat. Höhe d

Erklärung der Durchstanztheorie (SIA 262 4.3.6)

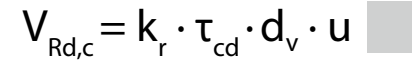
ANCOTECH AG, Dielsdorf, Tel: 044 854 72 22, Fax: 044 854 72 29 www.ancotech.ch

Das Resultat der Durchstanzbemessung ist eine Funktion von:



Durchstanztheorie

Der Durchstanzumfang ist eine Funktion von:



Stützentyp







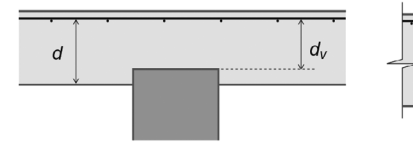
Stützenlage

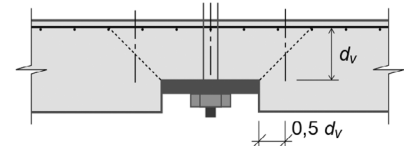






wirksame statische Höhe





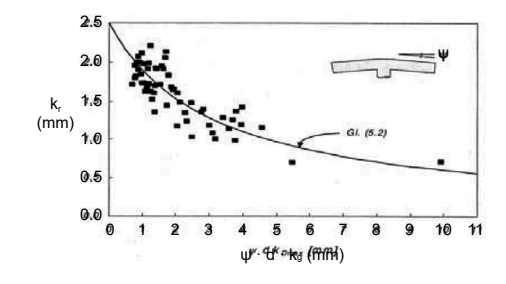
Der Bemessungswert der Schubspannung ist eine Funktion der Betonqualität

$$V_{Rd,c} = k_r \cdot \tau_{cd} \cdot d_v \cdot u$$

Beton Typ	C12/15	C16/20	C20/25	C25/30	C30/37	C35/45	C40/50	C45/55	C50/60
f_{cd} [N/mm ²]	8.0	10.5	13.5	16.5	20.0	22.0	24.0	26.0	28.0
τ_{cd} [N/mm ²]	0.7	0.8	0.9	1.0	1.1	1.2	1.3	1.4	1.4

SIA 262 2013 Tab. 8

Der Durchstanzbeiwert k_r ist die Funktion der theoretischen Verformungen der Platte in der kritischen Zone



$$V_{Rd,c} = k_r \cdot \tau_{cd} \cdot d_v \cdot u$$

$$k_r = \frac{1}{0.45 + 0.18 \cdot \psi \cdot d \cdot k_g} \le 2$$
 d in mm

Der Beiwert k, hängt in erster Linie von der Ausnützung der Biegebewehrung über der Stütze, auf der Breite bs des nominellen «Stützstreifens», ab.

Der Beiwert k, ist aus unzähligen Versuchen und auf Grund grosser Erfahrung mit dem Durchstanzphänomen ermittelt worden.

Durchstanztheorie

Platten - Einfluss von Querkräften

Durchstanzwiderstand von Platten nach SIA 262 2013

Konzeptionelle Bestimmungen

- Das Verformungsvermögen von durch konzentrierte Kräfte belasteten Platten kann mit folgenden Massnahmen gewährleistet werden:
- \rightarrow entweder rechnerische Plattenrotation(skapazität) Ψ > 0.02 bei Erreichen der Durchstanzlast sicherstellen (Biegebewehrung nicht überdimensionieren, genügend grosse gestützte und Plattendicke wählen)
- \rightarrow oder Anordnung einer Durchstanzbewehrung mit $V_{Rd,s} \ge V_d/2$ (*)

Andernfalls sind die aufgezwungenen Verformungen bei der Bemessung zu berücksichtigen (Zwangsschnittkräfte infolge Temperaturänderungen, differentiellen Setzungen, Schwinden etc.)

→ in der Regel starke Vergrösserung der Beanspruchung, sehr schwierig zu quantifizieren: vermeiden!

(*) nach fib Model Code 2010: $V_{Rd,s} \ge V_d/2$ mit $\sigma_{sd} = f_{sd}$ (SIA 262: nicht angegeben)

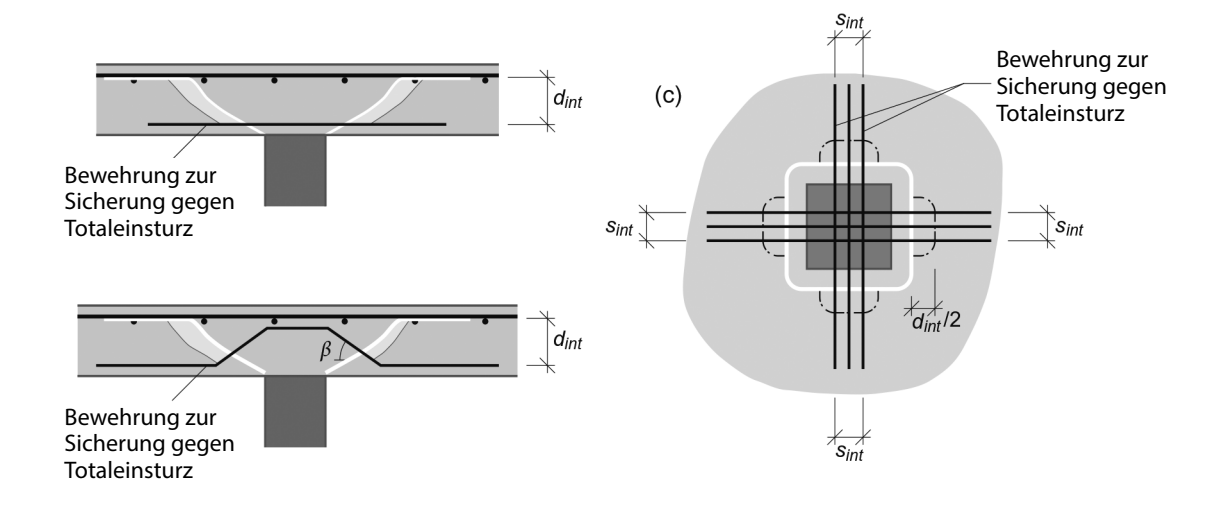
Konzeptionelle Bestimmungen

- Um einen progressiven Kollaps (durch unvorhersehbares Durchstanzen) zu vermeiden, ist mindestens eine der folgenden Massnahmen zu treffen:
- \rightarrow Anordnung einer Durchstanzbewehrung mit $V_{d,s} \ge V_d/2$ (*)

ANCOTECH AG, Dielsdorf, Tel: 044 854 72 22, Fax: 044 854 72 29 www.ancotech.ch

→ Anordnung einer Sicherung gegen Totaleinsturz (Details siehe SIA 262, 4.3.6.7)

(*) nach fib Model Code 2010: $V_{Rd,s} \ge V_d/2$ mit $\sigma_{sd} = f_{sd}$ (SIA 262: nicht angegeben)

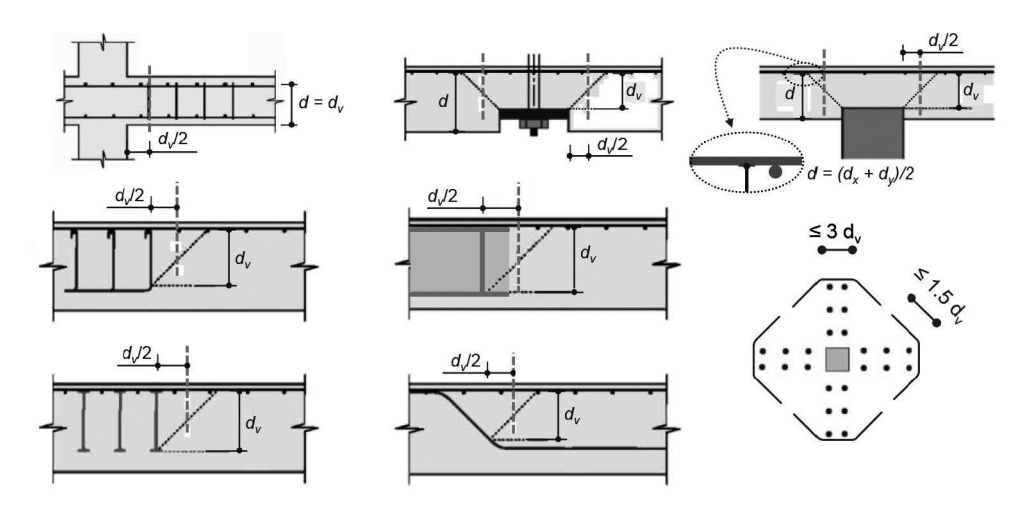


Durchstanztheorie

Durchstanzen: Nachweisschnitt und Stützstreifen

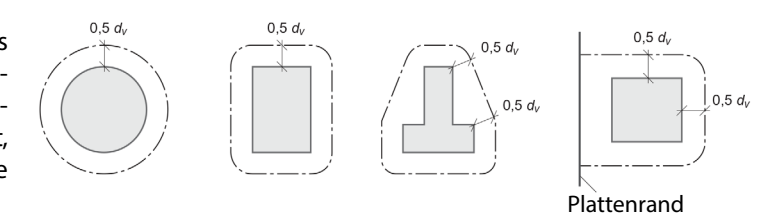
• Wirksame statische Höhe d_v gem. Abbildungen unten

• Wirksame statische Höhe d_v bei der Festlegung des Nachweisschnitts zu beachten



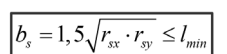
Nachweisschnitt (Länge u)

NB: Einwirkungen innerhalb des Nachweisschnitts dürfen vom Bemessungswert der Querkraft in Abzug gebracht werden (Eigengewicht, Sohldruckspannungen, Umlenkkräfte aus Vorspannung etc.)

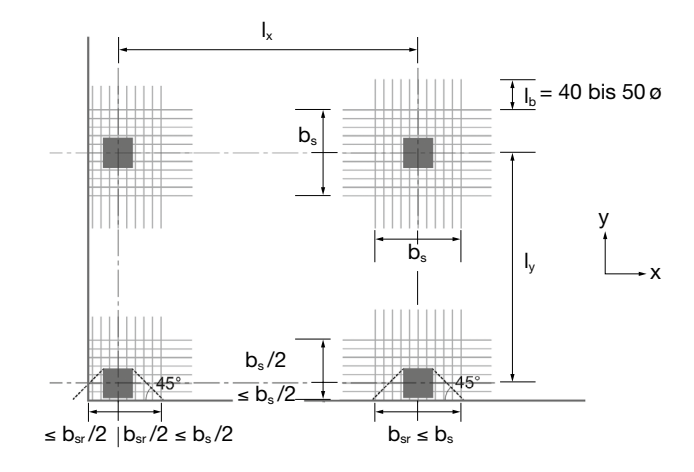


Stützstreifen (Breite b_s)

NB: Massgebende Biegebeanspruchung und Biegewiderstand: Mittelwert über Breite des Stützstreifens



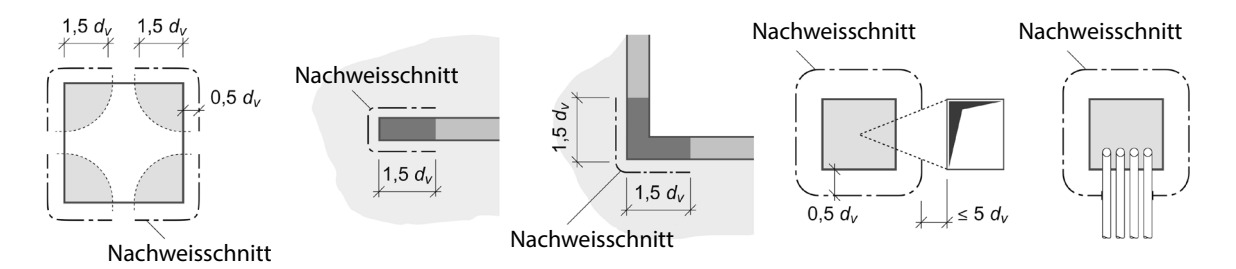
Achtung: Ausreichende Verankerung der Biegebewehrung ausserhalb des Stützstreifens $I_b = 40$ bis 50 ø



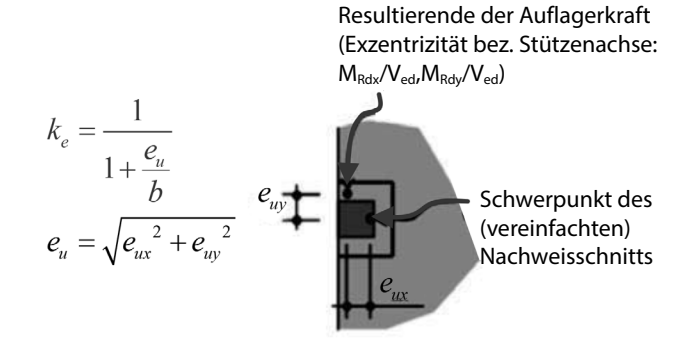
Durchstanzen: Nachweisschnitt

Abminderung der Länge des Nachweisschnitts zur Berücksichtigung nicht konstanter Verteilung der Querkraftbeanspruchung

• Berücksichtigung der Lastkonzentrationen in Ecken, Aussparungen, Leitungen etc. (Leitungen im Abstand < 5 d, nur in radialer Richtung zulässig)!



 \bullet Zusätzliche Abminderung des Nachweisschnitts bei Momentenübertragung Stütze-Platte durch Beiwert k_e (Ausrundungen des Nachweisschnitts vereinfachend als Ecken):

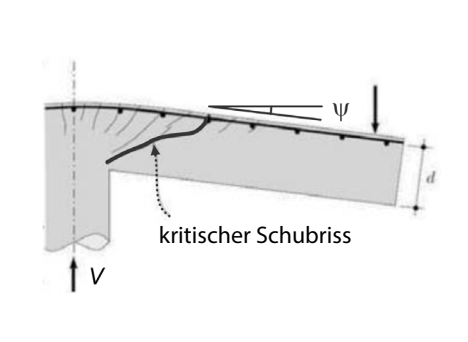


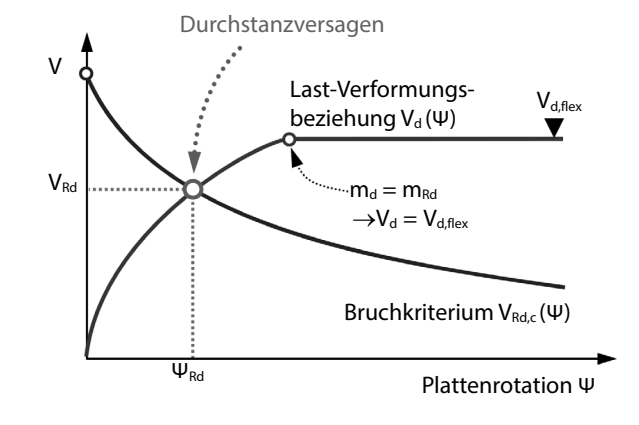
Näherung für regelmässig gestützte Flachdecken, Stützen biegesteif angeschlossen, keine Aufnahme horizontaler Einwirkungen durch Stützen:

- k_e = 0.90 Innenstützen
- $k_e = 0.75$ Wandenden, Wandecken
- k_e = 0.70 Randstützen, Innenstützen mit grossen Aussparungen in Stützennähe
- $-k_e = 0.65$ Eckstützen

Durchstanzen von Platten ohne Durchstanzbewehrung nach SIA 262 2013

- Modellvorstellung: kritischer Schubriss versagt, wenn er sich so weit geöffnet hat, dass er die Beanspruchung nicht mehr übertragen kann
- Öffnung des kritischen Schubrisses resp. Bruchwiderstand wird über eine an Versuchen kalibrierte Beziehung mit der Plattenrotation Ψ verknüpft \rightarrow Bruchkriterium $V_{Rd} = V_{Rd}(\Psi)$
- Herleitung einer analytischen Beziehung $\Psi=\Psi(m_{sd}/m_{Rd})$ zwischen Plattenrotation Ψ und Biegebeanspruchung des Stützstreifens (m_{sd}/m_{Rd}) mit mechanischem Modell, Verknüpfung von m_{sd} mit Stützenreaktion $V_d \to Last$ -Verformungsbeziehung $V_d = V_d(\Psi)$





Durchstanzwiderstand von Platten ohne Durchstanzbewehrung nach SIA 262

$$\boxed{ \begin{aligned} V_{Rd,c}(\psi) &= k_r \cdot \tau_{cd} \cdot d_v \cdot u \\ k_r &= \frac{1}{0.45 + 0.18 \cdot \psi \cdot d \cdot k_g} \leq 2 \end{aligned} \quad \text{mit} \quad \tau_{cd} = \frac{0.3 \eta_t \sqrt{f_{ck}}}{\gamma_c} }{ \begin{aligned} \gamma_c &= \frac{48}{16 + D_{\max}} \end{aligned} }$$

$$\psi = 1.5 \frac{r_s}{d} \frac{f_{sd}}{E_s} \left(\frac{m_{sd}}{m_{Rd}} \right)^{3/2} \qquad \text{(m$_{sd}$, m$_{Rd}$ und r$_s$ für Richtungen x, y separat ermitteln, grösserer Wert von Ψ ist massgebend}$$

k, Beiwert für Bauteilabmessung, Plattenrotation und Maximalkorn

d_v Wirksame stat. Höhe in mm

u Nachweisschnitt

Ψ Plattenrotation

r_s Distanz Momentennullpunkt (radiales Moment = 0) ab Stützenachse

m_{sd} Mittelwert der Biegemomente im Stützstreifen

Bemerkung:

Die Last-Verformungsbeziehung muss bei der Bemessung (Kontrolle, ob für eine gegebene Einwirkung V_d eine Durchstanzbewehrung erforderlich ist) nicht ermittelt werden.

Für die Berechnung des tatsächlich vorhandenen Durchstanzwiderstands wird sie jedoch benötigt.

Nähere Angaben siehe folgende Seiten.

Durchstanzversagen

V

Last-Verformungsbeziehung $V_d(\Psi)$ $W_{d,flex}$ $W_{Rd} = W_{d,flex}$ Bruchkriterium $W_{Rd,c}(\Psi)$ Plattenrotation Ψ

Bemessung (nur massg. Richtung dargestellt (Ψ_d für m_{sd} , m_{Rd} und r_s pro Richtungen x, y ermitteln, kleinerer Wert von V_{Rd} ist massgebend) Gegeben: V_d , Stützenabmessung (und damit u) Frage: Ist die Durchstanzsicherheit ohne Schubbewehrung gewährleistet / ist die Plattendicke resp. Biegebewehrung und Betonqualität ausreichend?

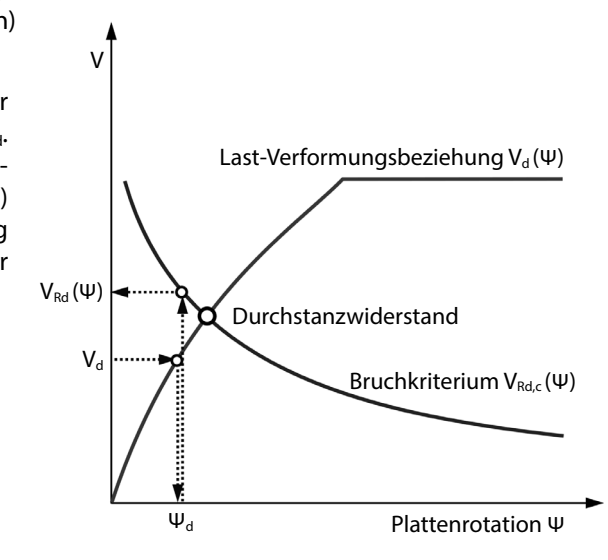
Vorgehen

1. Annahme von d und mgd

2. Ermittlung von r_s und m_{sd} (V_d) $\rightarrow \Psi_d \rightarrow V_{Rd}$ (Ψ_d) pro Richtung x, y

3. Vergrösserung von d und evtl. m_{Rd} , bis V_{Rd} (Ψ_d) > V_d (oder Entscheid: Durchstanzbewehrung anordnen)

NB: Der resultierende Wert von V_{Rd} (Ψ_d) ist grösser als der tatsächliche Durchstanzwiderstand V_{Rd} . Der genaue Wert von V_{Rd} müsste iterativ ermittelt werden (Schnittpunkt der Kurven V_{Rd} (Ψ) und V_d (Ψ)). Dies ist aber bei der Bemessung unnötig; diese kann ohne Ermittlung der Last-Verformungsbeziehung V_d (Ψ) erfolgen.



Durchstanztheorie

Durchstanzwiderstand von Platten ohne Durchstanzbewehrung nach SIA 262

Näherungsstufen

(a) Regelmässig gestützte Flachdecken $0.5 \le I_x / I_y \le 2$, k(l)eine plastische Umlagerungen («normale» Hochbaudecke):

• Näherungsstufe 1: $r_{sx} = 0.22 \cdot l_x$, $r_{sy} = 0.22 \cdot l_y$ und $m_{sd}/m_{Rd} = 1.0$ (Vorbemessung)

• Näherungsstufe 2: $r_{sx} = 0.22 \cdot l_x$, $r_{sy} = 0.22 \cdot l_y$, Abschätzung der Biegebeanspruchung (Standard Bemessung):

$$m_{sd} = V_d \left(\frac{1}{8} + \frac{\left| e_{u,i} \right|}{2b_s} \right) \qquad \text{Innenstützen} \qquad m_{sd} = V_d \left(\frac{1}{8} + \frac{\left| e_{u,i} \right|}{2b_s} \right) \ge \frac{V_d}{4} \qquad \text{Randstützen}$$

$$m_{sd} = V_d \left(\frac{1}{8} + \frac{\left| e_{u,i} \right|}{b_s} \right) \ge \frac{V_d}{2} \quad \text{Eckstützen} \qquad m_{sd} = V_d \left(\frac{1}{8} + \frac{\left| e_{u,i} \right|}{b_s} \right) \qquad \text{Randstützen}$$

$$\text{Bewehrung} \quad \text{Randstützen}$$

$$\text{Bewehrung} \quad \text{Randstützen}$$

$$\text{Bewehrung} \quad \text{Randstützen}$$

(b) Flachdecken mit $I_x / I_y < 0.5$ oder $I_x / I_y > 2$, Platten mit komplexer Geometrie oder detaillierte Untersuchung nötig (oder bei Untersuchungen im Bestand):

 Näherungsstufe 3: Ermittlung von rs (Distanz des Nullpunktes der radialen Momente von der Stützenachse) und m_{sd} (Mittelwert der Biegemomente im Stützstreifen) aus elastischer Plattenberechnung; Faktor 1.2 statt 1.5 in Formel für Ψ:

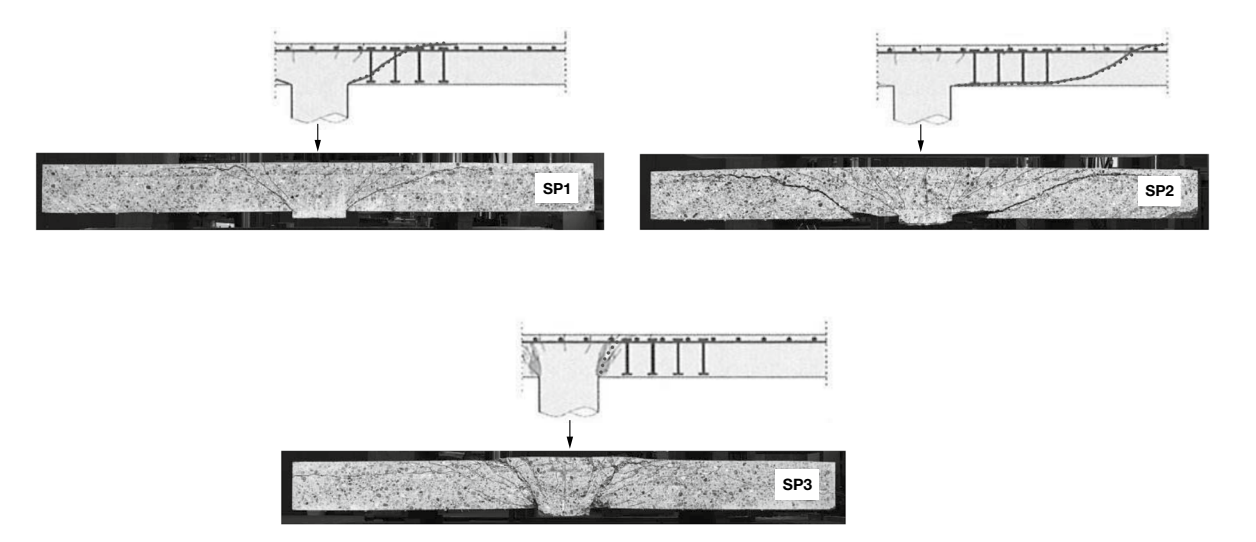
$$\Psi = 1.2 \cdot \frac{r_s}{d} \frac{f_{sd}}{E_s} \left(\frac{m_{sd}}{m_{Rd}} \right)^{3/2}$$

Platten mit Durchstanzbewehrung

Durchstanzwiderstand von Platten mit Durchstanzbewehrung nach SIA 262 2013

Bei Platten mit Durchstanzbewehrung sind folgende Nachweise zu führen:

- Widerstand der ersten Betondruckdiagonalen an der gestützten Fläche
- Widerstand der Durchstanzbewehrung (verstärkte Zone)
- Durchstanznachweis (ohne Durchstanzbewehrung) ausserhalb der verstärkten Zone



11

Durchstanzwiderstand von Platten mit Durchstanzbewehrung nach SIA 262 2013

Minimal erforderlicher Widerstand Durchstanzbewehrung:

... resp. damit eine Vernachlässigung von Zwängungen beim Nachweis der Tragsicherheit zulässig ist oder wenn keine Einsturzsicherung angeordnet werden soll:

Widerstand Durchstanzbewehrung (normal: Neigung $\beta=90^\circ$): (A_{sw}: nur Durchstanzbewehrung im Abstand 0.35 bis 1.0·d_v von der gestützten Fläche zählt)

Rechnerische Spannung in der Durchstanzbewehrung: (f_{bd} : Bemessungswert der Verbundspannung) (NB: nach fib Model Code 2010: $V_{d,s} \ge V_d/2$ mit $\sigma_{sd} = f_{sd}$)

Widerstand der ersten Betondruckdiagonale:

(Die Faktoren 2 und 3.5 können erhöht werden, sofern die Wirksamkeit der Bewehrung experimentell nachgewiesen ist)

 $\begin{aligned} &V_{d,s} \geq V_d - V_{Rd,c} \\ &V_{d,s} \geq \max \left\{ \begin{aligned} &V_d - V_{Rd,c} \\ &V_d / 2 \end{aligned} \right\} \end{aligned}$

10

$$V_{Rd,s} = \sum A_{sw} k_e \sigma_{sd} \sin \beta$$

$$\sigma_{sd} = \frac{E_s \Psi}{6} \left(1 + \frac{f_{bd}}{f_{sd}} \frac{d}{\varnothing_{sw}} \right) \le f_{sd}$$

$$\begin{split} V_{Rd,\max} &= 2 \cdot k_r \tau_{cd} d_v u \leq 3.5 \cdot \tau_{cd} d_v u \\ &= 2 \cdot V_{Rd,c} \; \text{mit} \; k_r \leq 1.75 \end{split}$$

Auswahl weiterer Bestimmungen (konstruktive Details siehe SIA 262 5.5.3)

Widerstand der Durchstanzbewehrung:

(A_{sw}: nur Durchstanzbewehrung im Abstand 0.35 bis 1.0·d_v von der gestützten Fläche)

$$V_{Rd,s} = \sum A_{sw} k_e \sigma_{sd} \sin \beta$$

SIA 262 5.5.3.8: mindestens zwei Schenkel in Radialrichtung

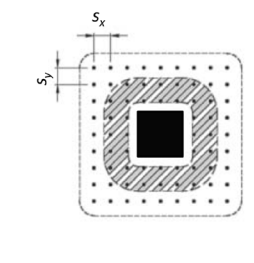
SIA 262 5.5.3.10: vollständige Verankerung in Druck- und Zugzone

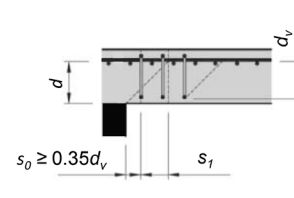
Anordnung der Durchstanzbewehrung im Abstand $> d_v$ von der gestützten Fläche:

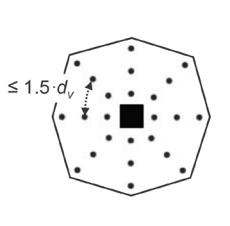
- radialer Abstand und maximale Ø, siehe SIA 262, Tab. 20
- tangentialer Abstand im 2. Ring ≤ 1.5·d_v

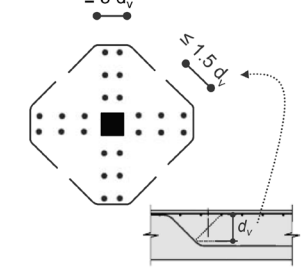
Generell gleichen Querschnitt Asw pro Ring vorsehen

→ Durchstanzbewehrung in Reihen: gleicher rad. Abstand der Dübel /Bügel







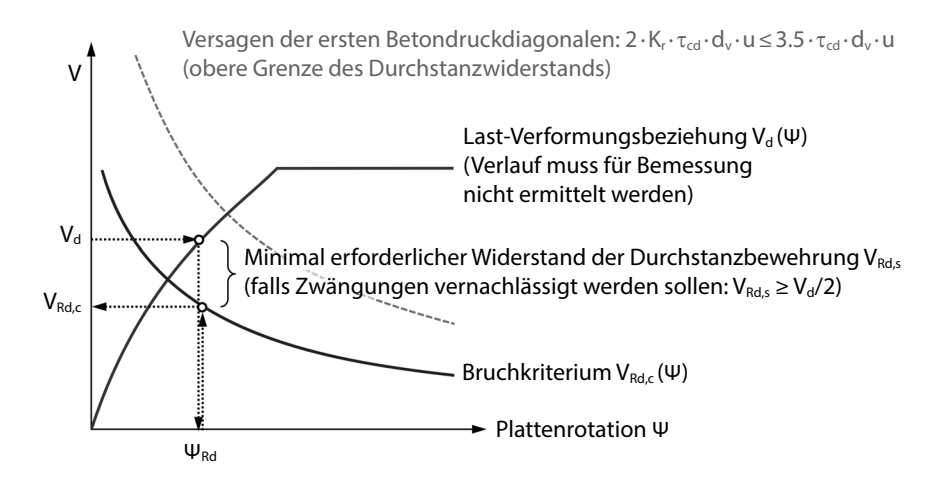


Durchstanztheorie

Durchstanzwiderstand von Platten mit Durchstanzbewehrung nach SIA 262 2013

Bemessung (nur massg. Richtung dargestellt (Ψ_d für m_{sd} , m_{Rd} und r_s pro Richtungen x, y ermitteln, kleinerer Wert von V_{Rd} ist massgebend)

- 1. Ermittlung V_{Rd.c} (= wie Ermittlung V_{Rd} ohne Durchstanzbewehrung, siehe vorne)
- 2. Erforderlicher Widerstand V_{Rd,s}, V_{d,s}, V_d, V_{Rd,c} (V_d /2 falls Zwängungen vernachlässigt werden sollen)
- 3. Kontrolle, dass Versagen der ersten Druckdiagonalen nicht massgebend wird
- 4. Festlegung Grösse des verstärkten Bereichs (so, dass ausserhalb V_{Rdc} allein ausreicht)



Widerstand mit Bewehrung

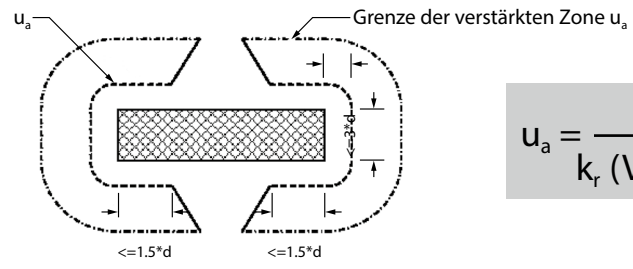
Durchstanzwiderstand mit ancoPLUS Durchstanzbewehrung

Sind die nachfolgenden Forderungen eingehalten, kann das Durchstanzversagen mit einer Durchstanzbewehrung verhindert werden.

$$V_{Rd,c} \ge = 3 \cdot k_{r(Vd)} \cdot \tau_{cd} \cdot d_{v} \cdot u$$

Bei einer Verstärkung mit Durchstanzbewehrung muss die massgebende Lasteinleitungszone bestimmt werden.

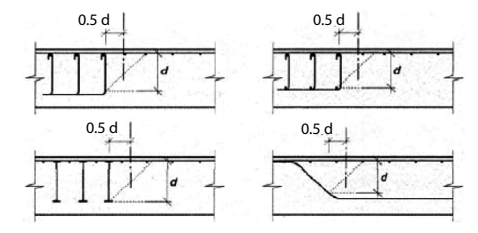
Die äussere Begrenzung der Lasteinleitungszone ist der Rundschnitt u_a.



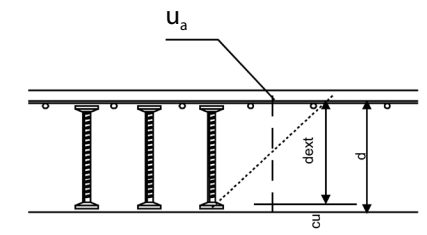
$$u_{a} = \frac{V_{Rd,c}}{k_{r} (V_{Rd,c}) * \tau_{cd} * d_{ext}}$$

Statische Höhe

Der äussere Rundschnitt u_a wird in Funktion von d_{ext}. berechnet. Die statische Höhe d wird durch das gewählte Durchstanzsystem beeinflusst. Mit dem Durchstanzsystem ancoPLUS muss die statische Höhe d nicht weiter reduziert werden.



Die massgebende Höhe für ancoPLUS ist:



$$d_{ext} = d - c_u$$

Ankerbemessung

12

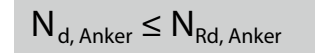
Dimensionierung der ANCOPLUS Anker

Der Ankerdurchmesser wird beeinflusst durch den Ankerabstand « x » und die Anzahl ancoPLUS pro « n_{as} ». (n_{as} = ancoPLUS-Reihe).

Tabelle für die ancoPLUS-Bemessung								
ancoPLUS Typ	Ø	Anker Querschnitt	Stahl- spannung	Traglast / Anker	Distanz zw. den Ankern	Traglast / ancoPLUS		
Typen	d _A	A _{sw}	f_{sd}	N _{Rd}	х	N_{Rd}		
	mm	mm²	N/mm²	kN		kN		
Χ	10	78.5	435	34.2	0.60*d	34.2		
Α	12	113.1	435	49.2	0.60*d	49.2		
В	14	153.9	435	67.0	0.60*d	67.0		
С	16	201.1	435	87.5	0.60*d	87.5		
G	20	314.2	435	136.7	0.60*d	136.7		
Н	20	314.2	435	136.7	0.30*d	273.3		
J	22	380.1	435	165.4	0.60*d	165.4		
K	22	380.1	435	165.4	0.30*d	330.7		
N	25	490.9	435	213.5	0.60*d	490.9		
0	26	530.9	435	231.0	0.60*d	231.0		
Р	26	530.9	435	231.0	0.30*d	461.9		
W	28	615.8	435	267.9	0.60*d	615.8		
T	30	706.9	435	307.5	0.60*d	307.5		
U	30	706.9	435	307.5	0.30*d	615.0		

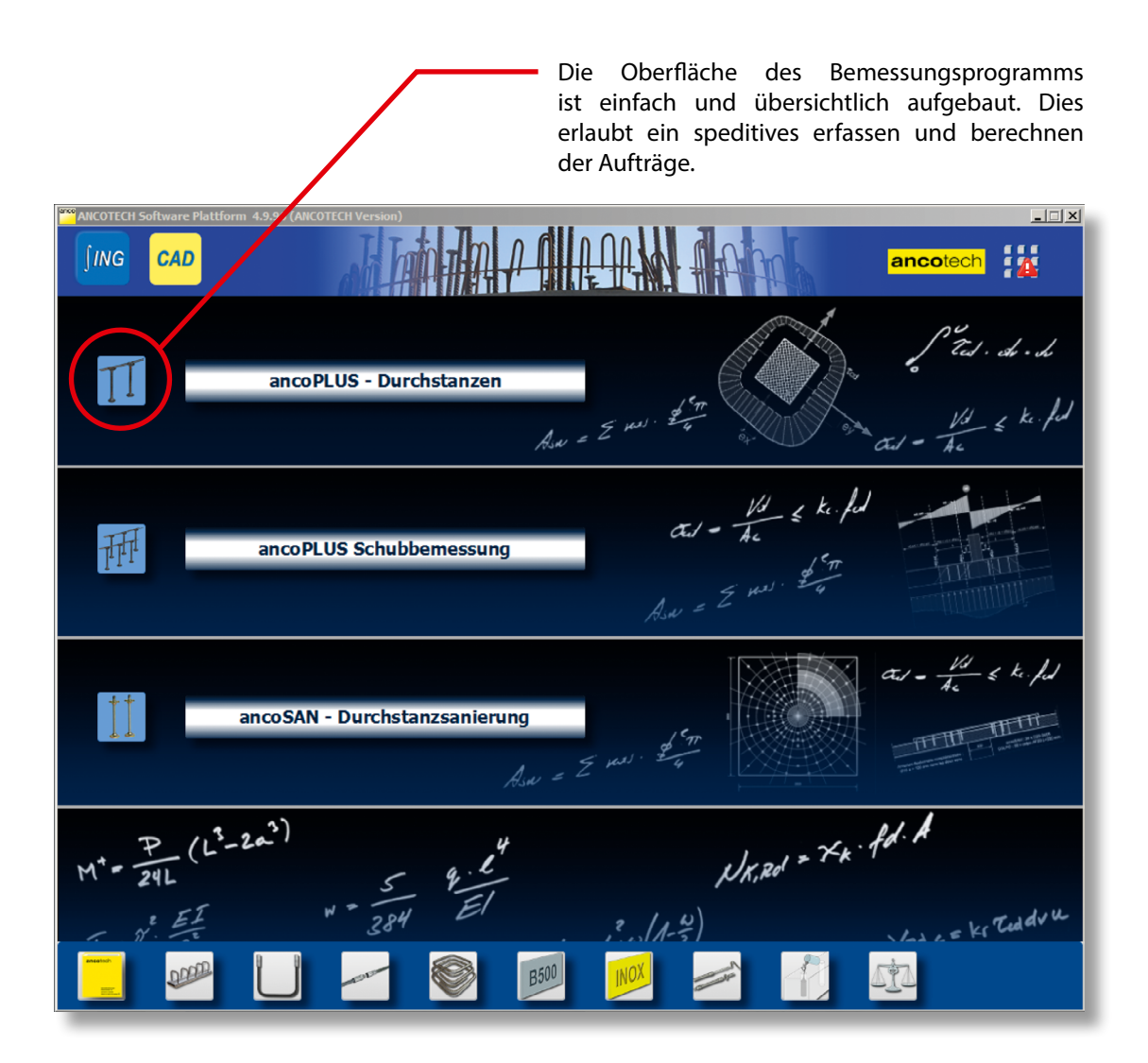
$$N_{d, Anker} = \frac{V_d \cdot x}{n_{as} \cdot z \cdot \cot \alpha}$$

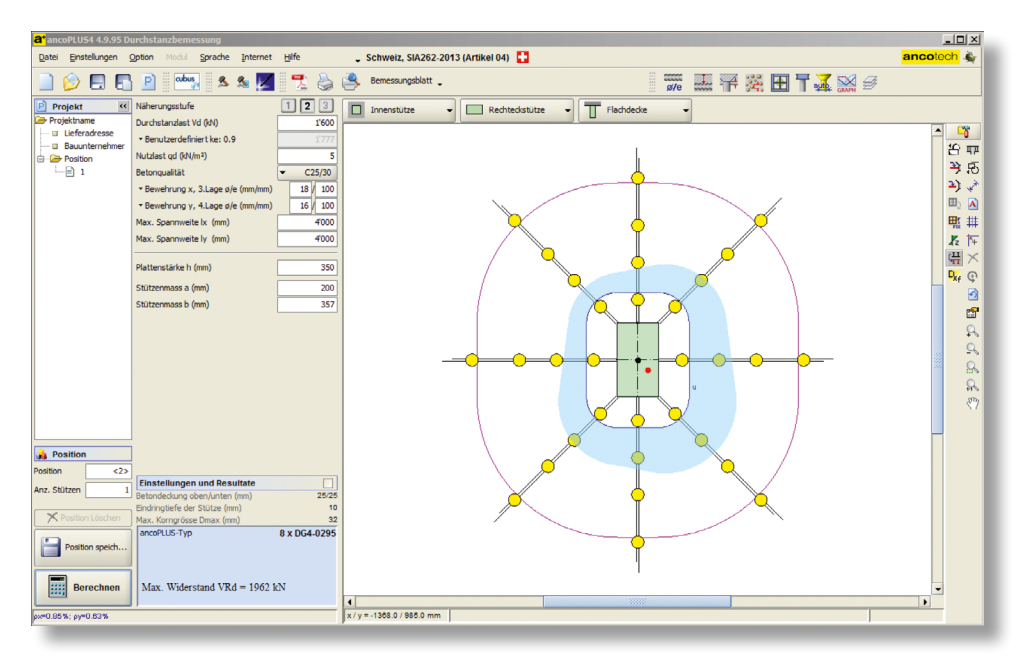
Die folgende Bedingung muss eingehalten werden:



13

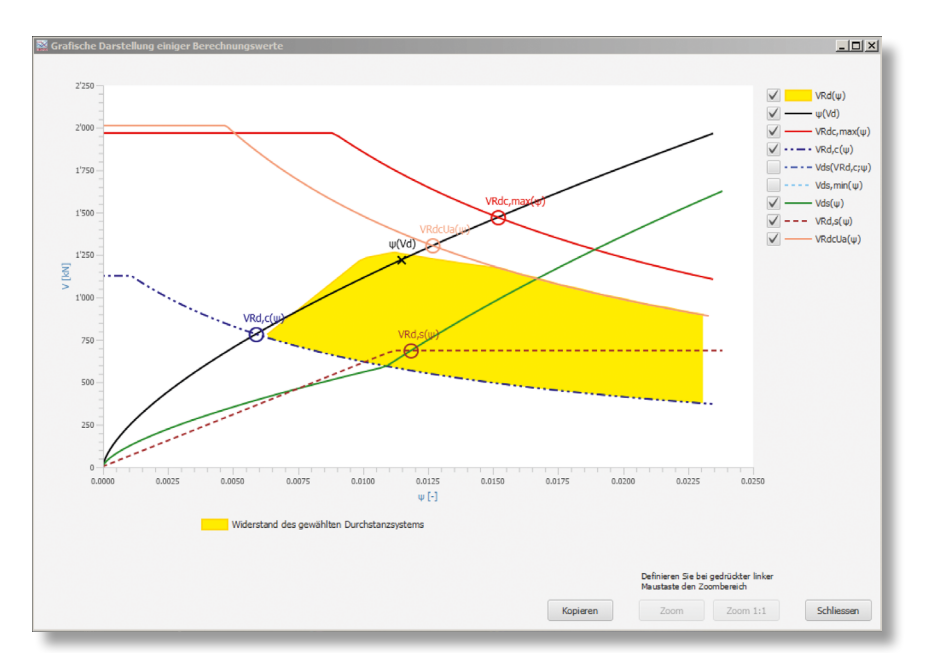
Bemessungsprogramm nach Norm SIA 262 2013



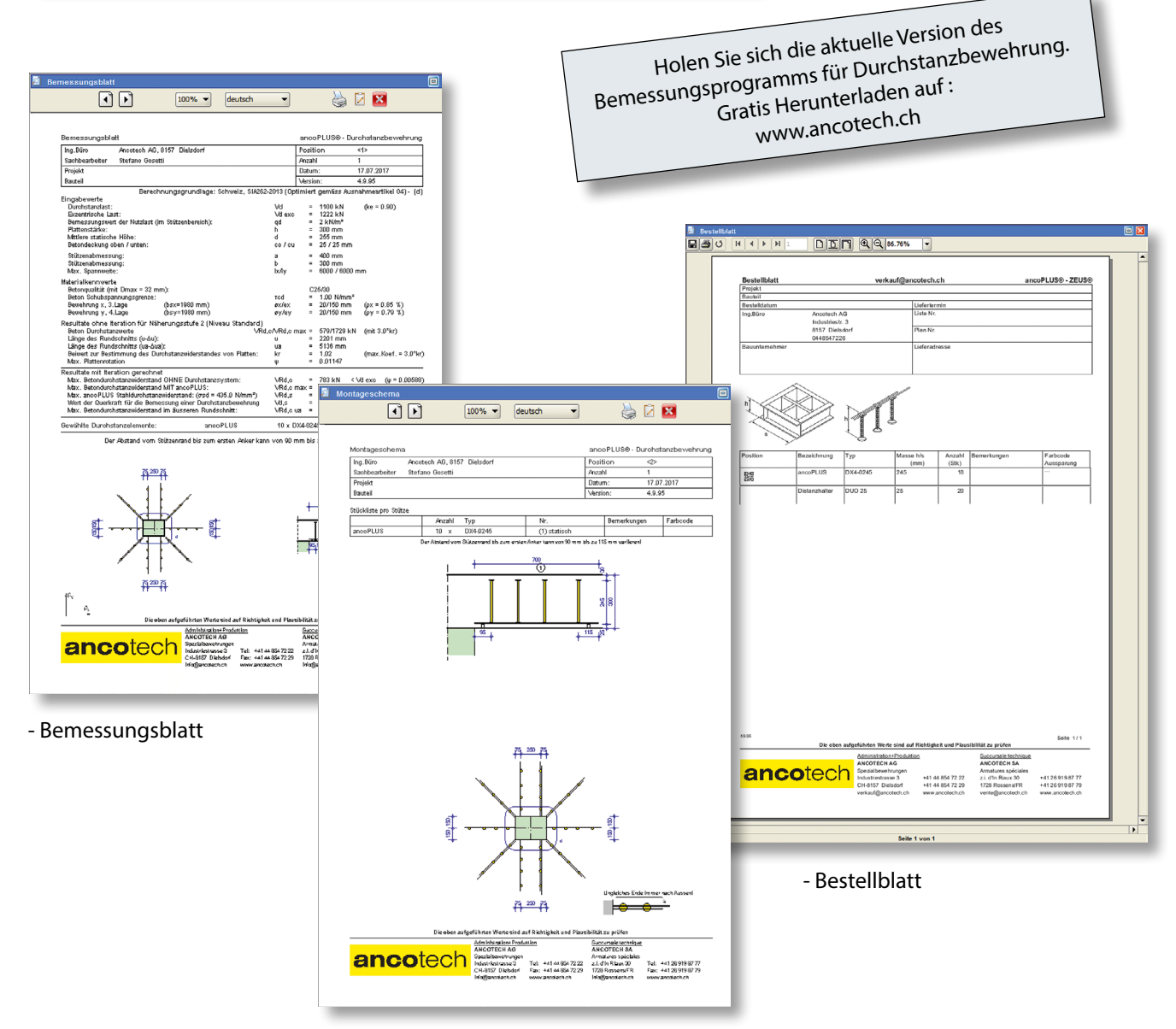


Durchstanzbemessungsprogramm ancoPLUS

14

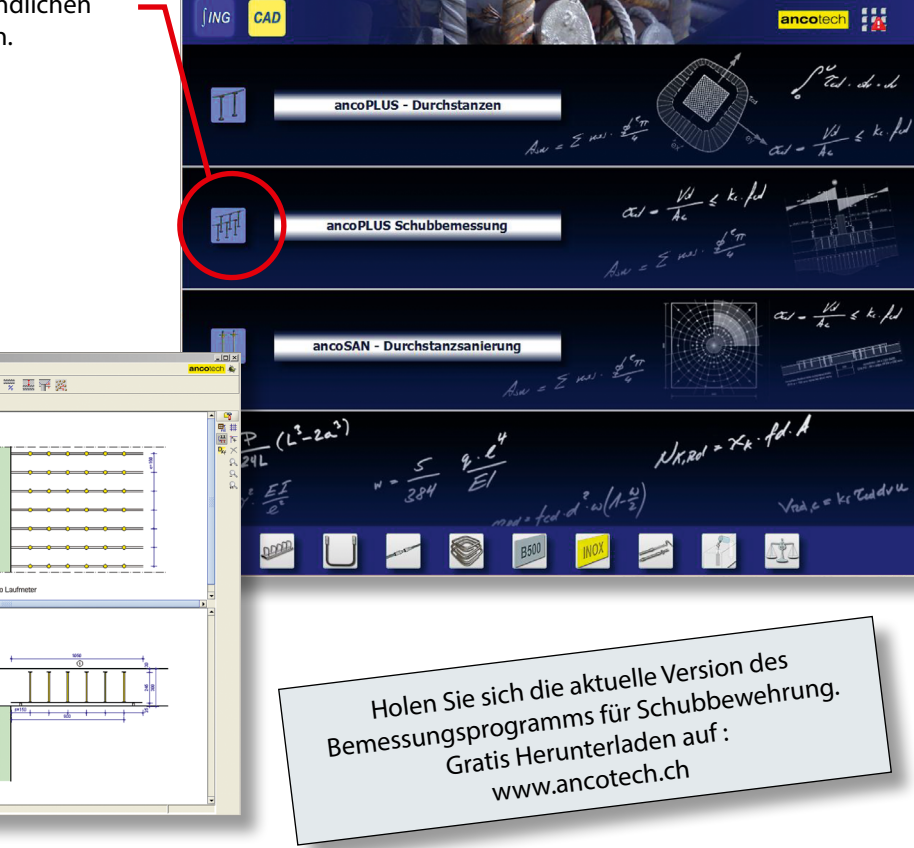


graphische Darstellung der mittels Iteration berechneten Widerstände

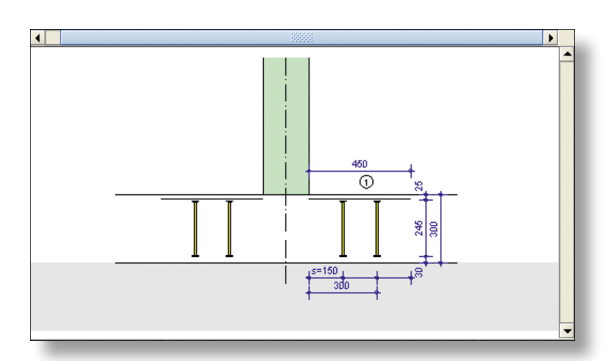


Schubbemessungsprogramm ancoPLUS nach Norm SIA 262 2013

Programm zur einfachen und verständlichen Bemessung von Schubbewehrungen.

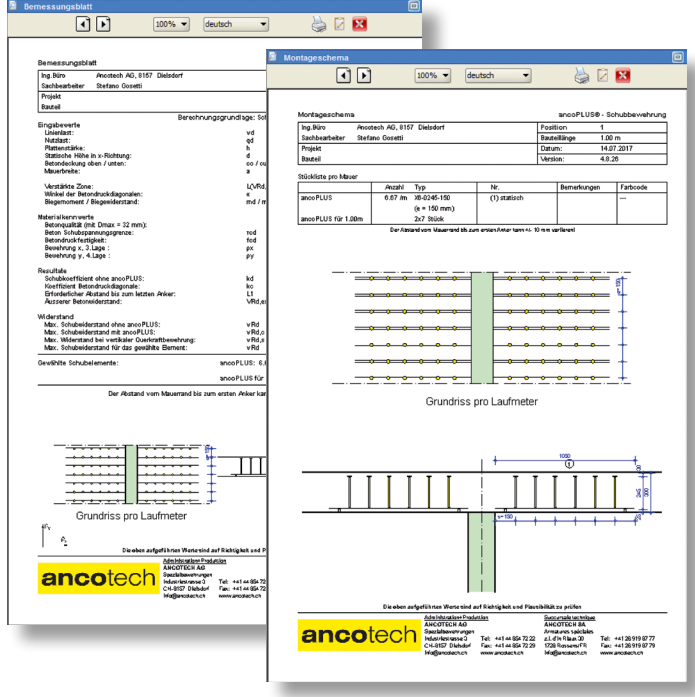


Übersichtliche Benutzeroberfläche zur Eingabe der erforderlichen Parameter.



Bemessung für:

- Decken
- Bodenplatten
- Einzelfundamenten



Resultate:

Bemessungsblatt, Montageschema und Bestellblatt mit einem Klick!

07. 2017

ancotech

Web: www.ancotech.ch

ANCOTECH AG Industriestrasse 3 CH-8157 Dielsdorf

Tel: 044 854 72 22 Fax: 044 854 72 29 E-Mail: info@ancotech.ch ANCOTECH SA Route de l'industrie 16 CH-1680 Romont

Tél: 026 919 87 77 Fax: 026 919 87 79 E-Mail:info@ancotech.ch